Révision: 11357

Date: 10/09/2013 Page: 1/13

Clé: V7.31.139

Titre: WTNV139 – Modélisation d'un puits creusé dans une [...]

Responsable : Sylvie GRANET

WTNV139 – Modélisation d'un puits creusé dans une formation isotrope transverse saturée en eau

Résumé:

Ce cas test issu de la littérature (Abousleiman et al. [1]) présente le cas d'un puits creusé incliné dans un milieu saturé en eau. Il s'agit d'une modélisation hydromécanique couplée qui dispose d'une solution analytique. Ce cas test a pour but de tester la bonne prise en compte de l'isotropie transverse du milieu poreux.

Date: 10/09/2013 Page: 2/13 Clé: V7.31.139 Responsable: Sylvie GRANET Révision: 11357

Problème de référence 1

L'objectif de ce cas test est de comparer la solution obtenue avec Code Aster, en utilisant une modélisation aux éléments finis, avec une solution analytique. Ce cas test et sa solution analytique ont été développés et détaillés par Abousleiman et al.[1]. Nous en présentons ici les principales lignes ainsi que les analogies admissibles avec notre modèle.

1.1 Géométrie du problème

On considère un volume de roche de hauteur h=1m et de base carrée de l=15m de coté. Au centre, est creusée une cavité cylindrique de rayon $R=0.1\mathrm{m}$ et d'extension infinie selon son axe z. On remarque qu'on modélise ici un domaine de hauteur 1m ce qui est une hypothèse restrictive (idéalement, il faudrait un domaine bien plus grand mais qui entrainerait de longs temps de calculs). Cette cavité sert à modéliser le puits creusé dans le massif de roche. Ce massif est d'autre part caractérisé par des plans d'isotropie perpendiculaires à l'axe de la cavité cylindrique.

Le puits est d'autre part caractérisé par deux angles par rapport au repère des contraintes principales:

- •son azimut $\varphi_v = 30^{\circ}$
- •son inclinaison $\varphi_z = 60^{\circ}$

Ce qui correspond aux angles nautiques :

- $\alpha = 30^{\circ}$
- *β*=−60 °

Le repère cartésien associé au massif et au repère des contraintes est noté (Ox'y'z') et celui associé à la cavité est noté (Oxyz). On définit également un système de coordonnées cylindriques (r, θ, z) pour caractériser la cavité cylindrique.

Sur la Figure 1.1-1 on résume les informations décrites ci-dessus :

Date: 10/09/2013 Page: 3/13 Responsable: Sylvie GRANET Clé: V7.31.139 Révision: 11357

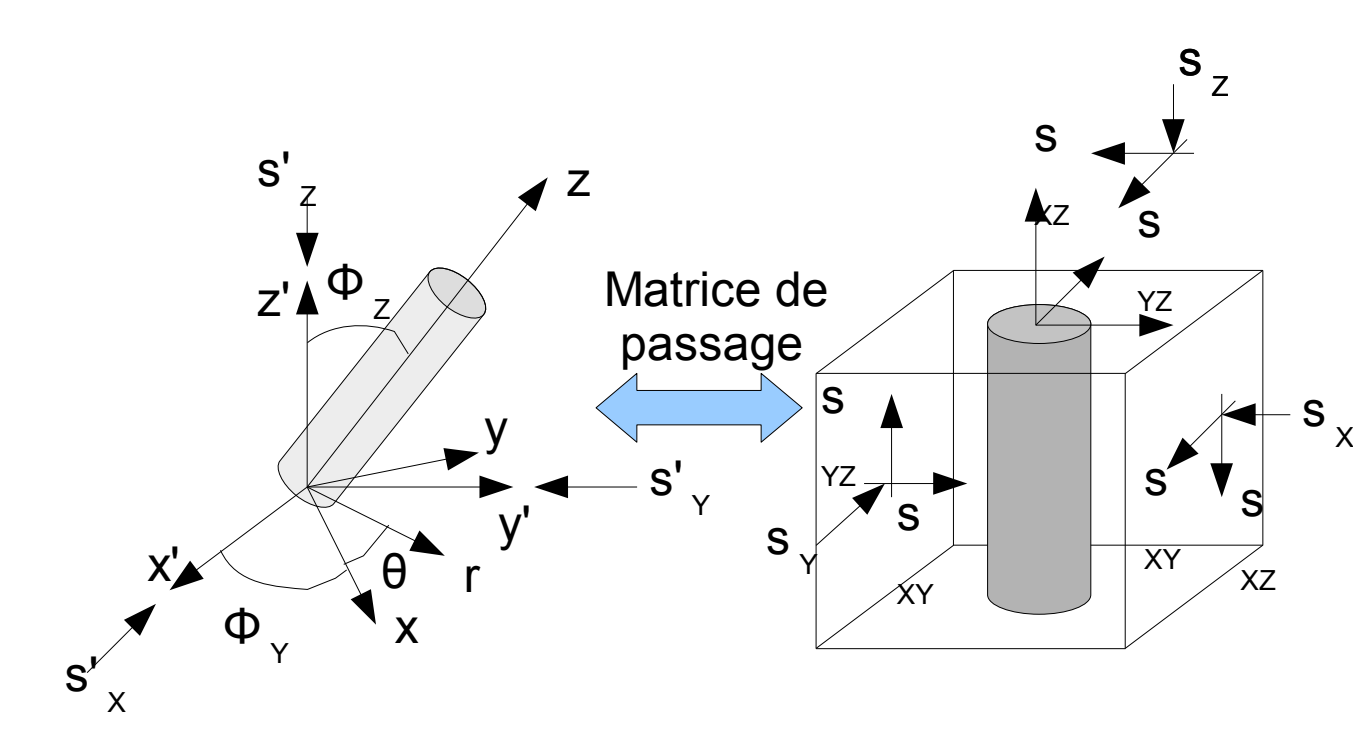


Figure 1.1-1 : Représentation de la géométrie du problème du puits incliné

Il est important de remarquer que les deux géométries décrites ci-dessus sont strictement équivalentes. Cependant on choisit d'adopter la géométrie pour laquelle le puits est vertical, afin de faciliter la modélisation et la conception du maillage. Le repère choisi est donc le repère d'isotropie transverse et non celui des contraintes principales.

Au final, on représentera une partie seulement du modèle tel que :

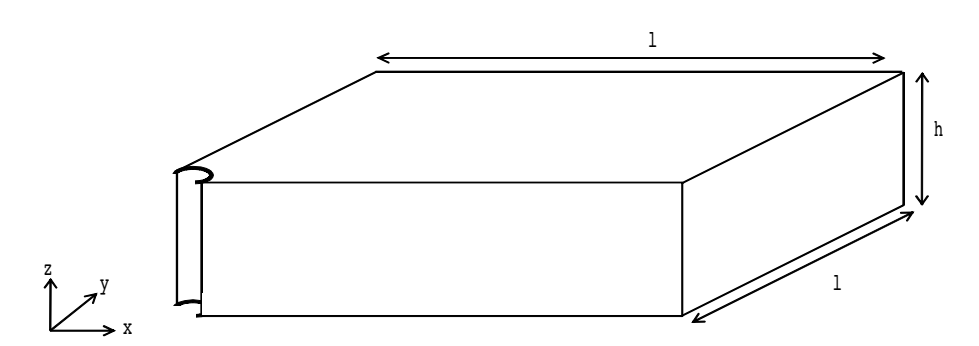


Figure 1.1-2 : Géométrie modélisée

Des conditions de symétries sont donc appliquées.

1.2 Propriétés matériaux

On se réfère aux paramètres définis dans l'article d'Abou Sleiman 13.

Responsable: Sylvie GRANET

Date: 10/09/2013 Page: 4/13 Clé: V7.31.139 Révision: 11357

On part du rapport d'anisotropie $\frac{E_L}{E_N}$ = 2 et $\frac{v_{T\!L}}{v_{N\!L}}$ = 2 . On rappelle que les hypothèses d'isotropie

transverse impliquent que $v_{\mathit{TL}} = v_{\mathit{LT}}$; $v_{\mathit{NT}} = v_{\mathit{NL}}$; $v_{\mathit{LN}} = v_{\mathit{TN}}$ et $\frac{v_{\mathit{NT}}}{v_{\mathit{LN}}} = \frac{E_{\mathit{N}}}{E_{\mathit{L}}}$.

Par ailleurs et en écrivant les termes de la matrice de Hook, tels que :

$$M_{11} = \frac{E_{L}(E_{N} - E_{L}v_{NL}^{2})}{(1 + v_{TL})(E_{N} - E_{N}v_{TL} - 2.E_{L}v_{NL}^{2})}$$

$$M_{12} = \frac{E_{L}(E_{N}v_{TL} + E_{L}v_{NL}^{2})}{(1 + v_{TL})(E_{N} - E_{N}v_{TL} - 2.E_{L}v_{NL}^{2})}$$

$$M_{13} = \frac{E_L E_N \nu_{NL}}{E_N - E_N \nu_{TL} - 2.E_L \nu_{NL}^2}$$
$$M_{33} = \frac{E_N^2 (1 - \nu_{TL})}{E_N - E_N \nu_{TL} - 2.E_L \nu_{NL}^2}$$

Les coefficients de Biot sont alors déduits par la relation suivante 13:

$$b_L = 1 - \frac{M_{11} + M_{12} + M_{13}}{3K_S}$$

et

$$b_N = 1 - \frac{2M_{13} + M_{33}}{3K_S}$$

lci,
$$K_S = 27,5 \, GPa$$
.

À partir de cela, on indique ici les propriétés matériaux renseignés dans Code_Aster :

Liquide	Viscosité $\mu_{\scriptscriptstyle W}$ (en $\it Pa.s$)	10 ⁻³	
	Module de compressibilité $\frac{1}{K_{w}}$	5.10 ⁻¹⁰	
	(en Pa^{-1})	1	
	Densité du liquide ρ_w (en kg/m^3	I	
) Chaleur massique à pression constante	4180	
Paramètres élastiques	Module de Young E_L (en MPa)	9474	
ciastiques	Module de Young $E_{\scriptscriptstyle N}$ (en $M\!Pa$)	0.5×9474	
	Coefficient de Poisson $ \nu_{ m LT} $	0,24	
	Coefficient de Poisson $ \nu_{\mathrm{LN}} $		
		0,24	
	Module de Cisaillement G_{\ln} (en MPa)	8880	

Titre: WTNV139 – Modélisation d'un puits creusé dans une []	Date: 10/09/2013	Page : 5/13
Responsable : Sylvie GRANET	Clé : V7.31.139	Révision : 11357

Paramètres	de	Coefficient de Biot $b_{\scriptscriptstyle L}$	0,81689
couplage		Coefficient de Biot $b_{\scriptscriptstyle N}$	0,89864
		Masse volumiques homogénéisée initiale r_0 (en kg/m^3)	2410
		Perméabilité intrinsèque $K_L^{\rm int}$ (en m^2/s)	5.10 ⁻²⁰
		Perméabilité intrinsèque $K_N^{\rm int}$ (en m^2/s)	5.10 ⁻²⁰

Tableau 1.2-1 : Propriétés des matériaux

1.3 Conditions aux limites et initiales du modèle

Dans la suite nous considérons les conditions initiales et aux limites dans le repère lié au puits.

1.3.1 Cas des déplacements

Compte tenu de la symétrie du modèle, on bloquera sur 3 faces correspondant respectivement aux 3 plans x=0; y=0 et z=0.

1.3.2 Cas de la pression

La pression de pore initiale dans le massif et pour $r \to +\infty$ est fixée à $p_0 = 9.8 \, MPa$. On appliquera donc cette pression sur les 3 faces correspondant respectivement aux 3 plans x=l; y=l et z=h. Suite à la mise en eau du puits, il se développe en paroi une pression uniforme que l'on fixe à $p_w = 12 \, MPa$ sur le bord de la cavité.

1.3.3 Cas des contraintes

Dans le massif, l'état de contrainte *in situ* associé au repère (Ox'y'z') avant le creusement du puits est caractérisé par l'état initial suivant :

$$S'_{x} = -25 MPa$$

$$S'_{y} = -22 MPa$$

$$S'_{z} = -29 MPa$$

De plus le creusement du puits implique une perturbation de l'état de contrainte *in situ* initial dans le massif. Afin de prendre en compte ce nouvel état de contrainte au voisinage du puits, il faut considérer deux rotations successives pour passer du repère (Ox'y'z') associé au massif, au repère (Oxyz) associé au puits (cf. Figure 1.1-1).

Soient P_1 et P_2 les matrices de passage décrivant ce changement de repère :

Date: 10/09/2013 Page: 6/13

Clé: V7.31.139 Révision: 11357

Titre: WTNV139 – Modélisation d'un puits creusé dans une [...]

Responsable : Sylvie GRANET

$$\boldsymbol{P_1} = \begin{pmatrix} \cos(\alpha) & -\sin(\alpha) & 0 \\ \sin(\alpha) & \cos(\alpha) & 0 \\ 0 & 0 & 1 \end{pmatrix} \qquad \boldsymbol{P_2} = \begin{pmatrix} \cos(\beta) & 0 & -\sin(\beta) \\ 0 & 1 & 0 \\ \sin(\beta) & 0 & \cos(\beta) \end{pmatrix}$$

Après changement de repère, l'état de contrainte initiale dans le repère (Oxyz) et quand $r \to +\infty$ à appliquer au modèle est le suivant :

$$\begin{cases} S_{xx} = -27,81 \, MPa \\ S_{yy} = -22,75 \, MPa \\ S_{zz} = -25,44 \, MPa \\ S_{xy} = 0,65 \, MPa \\ S_{xz} = 2,06 \, MPa \\ S_{yz} = 1,125 \, MPa \end{cases}$$

Pour les conditions aux limites, on néglige le cisaillement et on applique les conditions en pression sur les 3 faces x=l; y=l et z=h.

En paroi du puits (r=R) et suivant , la contrainte radiale est appliquée : $\sigma_{rr}(r=R,t)=-p_w.\,H(t)$ où H(t) est la fonction échelon de Heaviside.

1.4 Solution de référence

Dans cette partie nous rappelons les équations théoriques utiles pour le calcul de la contrainte radiale, et de la pression de pore.

On résume les conditions aux limites du problème général :

•pour
$$r \rightarrow +\infty$$

$$\begin{cases} \sigma_{xx} = -S_{xx} \\ \sigma_{yy} = -S_{yy} \\ \sigma_{zz} = -S_{zz} \\ \sigma_{xy} = -S_{xy} \\ \sigma_{xz} = -S_{xz} \\ \sigma_{yz} = -S_{yz} \end{cases} \text{ et } p = p_0$$

• pour
$$r=R$$

$$\sigma_{rr}=-p_{w}.H(t)$$

$$\sigma_{r\theta}=\sigma_{rz}=0$$

$$p=p_{w}.H(t)$$

Compte tenu de la linéarité du problème, celui ci est en fait le résultat de la superposition de 3 sous problèmes qui permettent une étude tridimensionnelle 13:

• problème 1 : on considère un problème poro-élastique en déformations planes (on ne prend en compte que les contraintes principales selon les axes x et y ainsi que le cisaillement dans la plan (xy) et les perturbations liées à la pression de pore). Les conditions aux limites de ce problème s 'écrivent alors :

Titre : WTNV139 – Modélisation d'un puits creusé dans une [...] Responsable : Sylvie GRANET Date : 10/09/2013 Page : 7/13 Clé : V7.31.139 Révision : 11357

•pour
$$r \rightarrow +\infty$$

$$\sigma_{xx} = -S_{xx}$$

$$\sigma_{yy} = -S_{yy}$$

$$\sigma_{xy} = -S_{xy}$$

$$\sigma_{zz} = -v_{LN}(S_{xx} + S_{yy}) - (\alpha_{LN} - 2v_{LN}\alpha_{LT}) p_0 - (\beta_3^s - 2v_{LN}\beta_1^s) T_0$$

$$\sigma_{yz} = \sigma_{xz} = 0$$

$$p = p_0$$

•pour r=R

$$\sigma_{rr} = -p_w.H(t)$$

$$p = p_w.H(t)$$

- problème 2 : on ne considère que la contrainte verticale orientée selon z . Les conditions aux limites de ce problème s'écrivent alors :
 - •pour $r \rightarrow +\infty$

$$\sigma_{xx} = \sigma_{yy} = \sigma_{xy} = \sigma_{xz} = \sigma_{yz} = p = 0$$

$$\sigma_{zz} = -S_{zz} + (\nu_{LN}(S_{xx} + S_{yy}) + (\alpha_{LN} - 2\nu_{LN}\alpha_{LT})p_0)$$

 $oldsymbol{eta_3}^s$ et $oldsymbol{eta_1}^s$ sont définis dans la suite de ce document.

•pour
$$r=R$$

$$\sigma_{rr} = \sigma_{r\theta} = \sigma_{rz} = p = 0$$

- •problème 3 : on ne considère que les cisaillements contenus dans les plans (xz) et (yz) . Les conditions aux limites de ce problème s 'écrivent alors :
 - •pour $r \rightarrow +\infty$

$$\sigma_{xx} = \sigma_{yy} = \sigma_{zz} = \sigma_{xy} = p = 0$$

$$\sigma_{xz} = -S_{xz}$$

$$\sigma_{vz} = -S_{vz}$$

•pour r=R

$$\sigma_{rr} = \sigma_{r\theta} = \sigma_{r\theta} = 0$$

Dans la suite de ce document on va développer la solution du problème 1.

1.4.1 Présentation du problème analytique

Responsable: Sylvie GRANET

Date : 10/09/2013 Page : 8/13 Clé : V7.31.139 Révision : 11357

L'expression de la contrainte radiale, de la pression de pore et de la température, pour le problème en déformations planes (problème 1 ci-dessus) est également le résultat de la superposition de 3 modes de chargement dont les conditions aux limites sont données ci-après :

• Mode 1 : prise en compte de la partie hydrostatique des contraintes aux limites (en r=R)

$$\sigma_{rr}^{(1)} = \sigma_0 - p_w$$

$$p^{(1)} = 0$$

• Mode 2 : prise en compte des perturbations liées à la pression de pore et à la température (en r=R)

$$\sigma_{rr}^{(2)} = 0$$

$$p^{(2)} = p_w - p_0$$

• Mode 3 : prise en compte de la partie déviatorique des contraintes aux limites (en r=R)

$$\sigma_{rr}^{(3)} = -S_0 \cos(2(\theta - \theta_r))$$

$$p^{(3)} = 0$$

avec:

 $\sigma_0 = \frac{(S_{xx} + S_{yy})}{2}$ la contrainte moyenne, $S_0 = 0.5\sqrt{((S_{xx} - S_{yy})^2 + 4S_{xy}^2)}$ la contrainte déviatorique et

$$\theta_r = 0.5 \arctan \left(\frac{2S_{xy}}{S_{xx} - S_{yy}} \right)$$

•La solution générale pour le calcul de la contrainte radiale est donc donnée par l'expression suivante :

$$\sigma_{rr} = -\sigma_0 + S_0 \cos(2(\theta - \theta_r)) + \sigma_{rr}^{(1)} + \sigma_{rr}^{(2)} + \sigma_{rr}^{(3)}$$

avec:

$$\sigma_{rr}^{(1)} = (\sigma_0 - p_w) \frac{R^2}{r^2}$$

$$\sigma_{rr}^{(2)} = L^{-1} \left[\frac{1}{s} \left(b_{L} \left(1 - \frac{M_{12}}{M_{11}} \right) \left[F_{1} \psi (\xi) + F_{2} \psi (\omega) \right] + \beta_{1}^{s} \left(1 - \frac{M_{12}}{M_{11}} \right) \left[\left(T_{w} - T_{0} \right) \right] \psi (\omega) \right) \right]$$

$$\sigma_{rr}^{(3)} = L^{-1} \left[\frac{S_0}{s} \cos(2(\theta - \theta_r)) \left(A_1 C_1 \left(\frac{1}{\xi r} K_1(\xi r) + \frac{1}{(\xi r)^2} K_2(\xi r) \right) - A_2 C_2 \frac{R^2}{r^2} - 3 A_3 C_3 \frac{R^4}{r^4} \right) \right]$$

Les quantités utilisées sont définis à la fin de cette section.

• La solution générale pour le calcul de la pression de pore est donc donnée par l'expression suivante :

Manuel de validation Fascicule v7.31 : Thermo-hydro-mécanique en milieu poreux saturé

Titre : WTNV139 – Modélisation d'un puits creusé dans une [...] Responsable : Sylvie GRANET

Date: 10/09/2013 Page: 9/13 Clé: V7.31.139 Révision: 11357

$$p = p_0 + p^{(2)} + p^{(3)}$$

avec :

$$p^{(2)} = L^{-1} \left[\frac{1}{s} \left[F_1 \phi(\xi) + F_2 \phi(\omega) \right] \right]$$

$$p^{(3)} = L^{-1} \left[\frac{S_0}{s} \cos(2(\theta - \theta_r)) \left(A_1 C_2 \frac{R^2}{r^2} + \frac{c_f}{2 G_{\text{LT}} \kappa} C_1 K_2(\xi r) \right) \right]$$

Les quantités utilisées sont définis à la fin de cette section.

D'autre part on définit K_n comme étant les fonctions modifiées de Bessel de deuxième espèce d'ordre n (où n est un entier) telles que :

$$\begin{split} \frac{1}{2} \left(\frac{1}{2} x \right)^{-n} \sum_{k=0}^{n-1} \left[\frac{(n-k-1)!}{k!} \left(\frac{-1}{4} x^2 \right)^k \right] + (-1)^{n+1} \ln \left[\frac{1}{2} x \right] I_n(x) \\ K_n(x) &= \\ + (-1)^n \frac{1}{2} \left(\frac{1}{2} x \right)^n \sum_{k=0}^{\infty} \left[\left(X(k+1) + X(n+k+1) \right) \frac{\left[\frac{1}{4} x^2 \right]^k}{k! (n+k)!} \right] \end{split}$$

où $I_n(x) = \frac{1}{\pi} \int_0^{\pi} e^{x\cos\theta} \cos(n\theta) d\theta$ sont les fonctions modifiées de Bessel de première espèce d'ordre n (où n est un entier) et χ la fonction digamma.

On peut donc définir les quantités suivantes :

$$\phi(x) = \frac{K_0(xr)}{K_0(xR)}$$

$$\psi(x) = \frac{K_1(xr)}{xrK_0(xR)} - \frac{RK_1(xr)}{xr^2K_0(xR)}$$

$$F_{1} = (p_{w} - p_{0}) - \frac{c_{hf}}{1 - \frac{c_{f}}{c_{h}}} (T_{w} - T_{0})$$

$$F_{2} = \frac{c_{hf}}{1 - \frac{c_{f}}{c_{h}}} (T_{w} - T_{0})$$

$$c_f = \frac{\kappa M M_{11}}{M_{11} + b_I^2 M}$$

$$\kappa = \frac{K_L^{\text{int}}(\varphi)}{\mu_w}$$

Responsable : Sylvie GRANET

Date : 10/09/2013 Page : 10/13 Clé : V7.31.139 Révision : 11357

$$c_{hf} = \frac{c_f}{\kappa} \left[\beta^{sf} - \frac{b_L \beta_1^S}{M_{11}} \right]$$

$$C_{1} = \frac{4}{2A_{1}(B_{3} - B_{2}) - A_{2}B_{1}}$$

$$C_{1} = \frac{4}{2A_{1}(B_{3} - B_{2}) - A_{2}B_{1}}$$

$$C_{3} = \frac{2A_{1}(B_{3} + B_{2}) + 3A_{2}B_{1}}{3(2A_{1}(B_{3} - B_{2}) - A_{2}B_{1})}$$

$$A_{1} = \frac{b_{L}M}{M_{11} + b_{L}^{2}M}$$

$$A_{2} = \frac{M_{11} + M_{12} + 2b_{L}^{2}M}{M_{11} + b_{L}^{2}M}$$

$$B_{1} = \frac{M_{11}}{2G_{LT}b_{L}}K_{2}(\xi R)$$

$$B_{2} = \frac{1}{\xi R}K_{1}(\xi R) + \frac{6}{(\xi R)^{2}}K_{2}(\xi R)$$

$$B_{3} = 2\left(\frac{1}{\xi R}K_{1}(\xi R) + \frac{3}{(\xi R)^{2}}K_{2}(\xi R)\right)$$

$$\xi = \sqrt{\frac{s}{G_{1}}} \quad \text{et} \quad \omega = \sqrt{\frac{s}{G_{1}}} \quad \text{où } s \text{ représente la variable de Laplace.}$$

1.4.2 Méthode de résolution de la solution analytique

Comme nous avons pu le constater précédemment, les solutions pour les modes 2 et 3 sont exprimés dans l'espace de Laplace. Compte tenu de la complexité de l'inversion de la solution vers l'espace temporel, nous avons recours à un algorithme d'inversion dit de *Stehfest-Graver*. Cette méthode est reconnue pour sa stabilité numérique.

Le principe de la méthode consiste à approximer la fonction à inverser $\tilde{f}(s)$ à l'aide d'une delta-série en utilisant la formule suivante :

$$f(t) \simeq \frac{\ln(2)}{t} \sum_{i=1}^{N} V_{i} \tilde{f}\left(i \frac{\ln(2)}{t}\right)$$

Titre : WTNV139 – Modélisation d'un puits creusé dans une [...] Responsable : Sylvie GRANET

Date : 10/09/2013 Page : 11/13 Clé : V7.31.139 Révision : 11357

$$\text{où } V_i \! = \! (-1)^{i + (N/2)} \frac{\sum_{k = E((i+1)/2)}^{\min(i, N/2)} k^{N/2}(2\mathbf{k})!}{\left(\frac{N}{2} \! - \! k\right)! \, k \, ! (k \! - \! 1)! (i \! - \! k)! \, (2\mathbf{k} \! - \! i)!}$$

avec E(x) la fonction partie entière et N le nombre de termes de la série. Il est en général compris entre 10 et 20. Dans notre cas nous avons choisi $N\!=\!18$

Date: 10/09/2013 Page: 12/13 Responsable: Sylvie GRANET Clé: V7.31.139 Révision: 11357

Modélisation A 2

2.1 Caractéristiques de la modélisation A

Modélisation 3D HMS. Le maillage est composé de 1806 HEXA8 et de 204 PENTA6. Le temps de simulation est de $t = 86.4 \, s$ (soit $t = 0.001 \, jours$) effectué en 10 pas de temps.

2.2 Résultats

La Figure 2.2-1 représente les contraintes radiales pour un angle $\theta = 90^{\circ}$, soit suivant l'axe y. Les résultats de modélisation et analytiques sont représentées. Si l'allure globale est la même il y a cependant des différences qui sont logiques : tout d'abord pour des raisons de temps de calculs le maillage est ici grossier notamment dans l'épaisseur h. Par ailleurs nous sommes assez loin d'une géométrie infinie et les contraintes de cisaillement au bord ne sont pas appliquées. Enfin le formalisme en contrainte effective/contrainte totale proposé par Abousleiman est légèrement différent du notre et la comparaison nécessite certains ajustements.

Sachant cela, on peut considérer que cet accord est tout à fait acceptable.

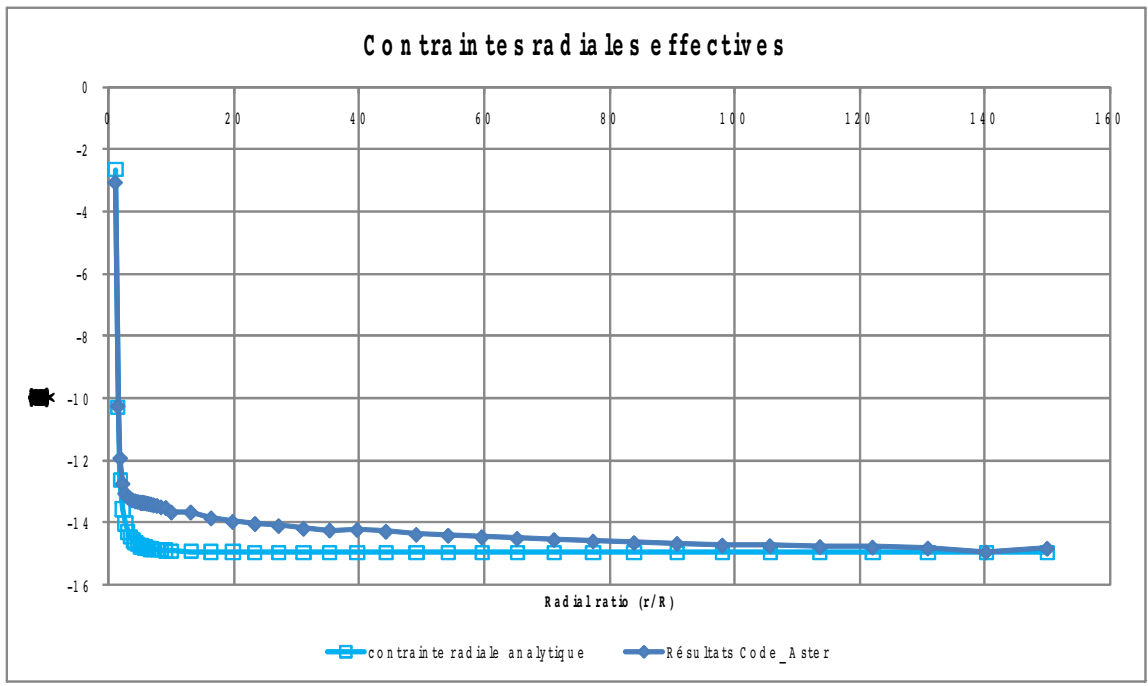


Figure 2.2-1 : Géométrie modélisée

2.3 Valeurs testées

Conformément à 13, on regarde les contraintes radiales au temps t = 86.4 s (soit t = 0.001 jours).

N° NŒUD	$COOR_X$	$COOR_Y$	$COOR_Z$	Référence PRE1 (MPa)	Aster PRE1 (MPa)	Tolérance admise (%)
2286	0	0.14	0.5	10.5	9.93	10

N °	COOR_	COOR_	COOR_Z	Référence $\sigma_r(MPa)$	Aster SIYY (MPa)	Tolérance (%)
2286	0	0.14	0.5	10.3	10.25	10

 Titre : WTNV139 – Modélisation d'un puits creusé dans une [...]
 Date : 10/09/2013 Page : 13/13

 Responsable : Sylvie GRANET
 Clé : V7.31.139 Révision : 11357

 2582
 0
 13.1
 0.5
 14.9
 14.8
 10

3 Synthèse des résultats

Les résultats sont cohérents avec la solution analytique.

4 Références

1. Abousleiman, Y. Ekbote, S. « Solution for the inclined Borehole in a Porothermoelastic Transversly Isotropic Medium ». Journal of Applied Mechanics. Vol. 72 (2005)